

©1995

## ОПТИЧЕСКИЕ ФОНОНЫ В СПОНТАННО УПОРЯДОЧЕННЫХ ТВЕРДЫХ РАСТВОРАХ InGaP

А.М.Минтаиров, Б.Н.Звонков, Т.С.Бабушкина,  
И.Г.Малкина, Ю.Н.Сафьянов

Физико-технический институт им. А.Ф.Иоффе Российской академии наук,  
194021, Санкт-Петербург, Россия  
(Поступила в Редакцию 17 марта 1995 г.)

В спектрах комбинационного рассеяния света (КР) спонтанно упорядоченных твердых растворов  $In_{0.5}Ga_{0.5}P$ , выращенных методом МОС-гидридной эпитаксии на (100) GaAs подложках, обнаружены линии оптических фононов доменов, имеющих структуру GaP/InP монослойной сверхрешетки (МСР) с ориентацией [111] и [111]. Произведены расчеты пространственной и дирекционной дисперсии оптических фононов {111}-GaP/InP МСР с использованием оболочечной модели. Из спектров КР определены частоты мод поляризованных перпендикулярно и параллельно плоскости отражения упорядоченных доменов. Установлена зависимость спектров КР от микроструктуры эпитаксиальных слоев спонтанно упорядоченного  $In_{0.5}Ga_{0.5}P$ .

Оптические спектры твердых растворов  $In_xGa_{1-x}P$  ( $x = 0.5$ ), выращенных методом МОС-гидридной эпитаксии (МОСГЭ) на GaAs подложках, обнаруживают сильную зависимость от условий выращивания. Это обусловлено частичным упорядочением атомов Ga и In в катионной подрешетке [1–4], подобным упорядочению, наблюдаемому в металлических сплавах [5]. Согласно электронно-дифракционным исследованиям, выращенные определенным образом слои  $In_{0.5}Ga_{0.5}P$  имеют упорядоченную фазу со структурой типа CuPt, которой соответствует GaP/InP монослойная сверхрешетка (МСР), ориентированная вдоль направлений {111} [1, 2, 6, 7].

Высокая степень упорядочения CuPt-типа наблюдается в слоях  $In_{0.5}Ga_{0.5}P$ , выращенных на подложках GaAs в ориентацией [001] при температурах 650–700°C. Обнаруживаются только две возможные ориентации МСР упорядоченных доменов: одна вдоль направления [111], другая вдоль — [111] [1, 2, 6, 7]. МСР с этими ориентациями имеют общие плоскости зеркального отражения — параллельные плоскости (110). Таким образом, наличие в слое твердого раствора обоих типов упорядоченных доменов приводит к оптической анизотропии эпитаксиального слоя в плоскости роста, что проявляется, например, в поляризованных спектрах возбуждения фотолюминесценции [8].

Влияние частичного упорядочения кристаллической решетки на электронные спектры  $\text{In}_{0.5}\text{Ga}_{0.5}\text{P}$  в настоящее время исследовано довольно подробно [4,9,10]. Что касается фононных спектров, нам известны всего несколько работ, в которых наблюдалась изменения формы полос в спектрах комбинационного рассеяния света (КР), обусловленные упорядочением  $\text{In}_{0.5}\text{Ga}_{0.5}\text{P}$  с образованием структуры  $\{111\}-\text{GaP}/\text{InP}$  MCP [1,2]. Было обнаружено, что увеличение степени упорядочения приводит к уменьшению «глубины провала» между двумя наиболее интенсивными полосами — с частотами максимумов  $365$  и  $380 \text{ cm}^{-1}$  и к появлению низкочастотной полосы с максимумом  $207 \text{ cm}^{-1}$ . Было отмечено [1], что частотное положение «провала» —  $370 \text{ cm}^{-1}$  и низкочастотной полосы  $207 \text{ cm}^{-1}$  хорошо согласуется с оценками частот  $\{111\}-\text{GaP}/\text{InP}$  MCP, полученных усреднением энергий LO(L)- и LA(L)-фононов объемных GaP и InP.

Более детальная интерпретация спектров КР спонтанно упорядоченного  $\text{In}_{0.5}\text{Ga}_{0.5}\text{P}$  требует привлечения соображений симметрии и расчетов динамики решетки, широко используемых при анализе спектров КР искусственных сверхрешеток [11–13]. При исследовании спектров КР твердых растворов важную роль играет анализ интенсивностей линий, который, как показано в [14,15] на примере  $\text{In}_{0.2}\text{Ga}_{0.8}\text{As}$ , позволяет получать информацию о распределении электронной плотности между химическими связями и о концентрации упорядоченной фазы.

Цель настоящей работы — анализ правил отбора для поляризации спектров КР, расчеты дисперсии фононов  $\{111\}-\text{GaP}/\text{InP}$  MCP и сопоставление полученных результатов с экспериментальными спектрами КР, измеренными в геометрии рассеяния, учитывающей оптическую анизотропию спонтанно упорядоченного  $\text{In}_{0.5}\text{Ga}_{0.5}\text{P}$ .

## Эксперимент

Исследуемые слои  $\text{In}_x\text{Ga}_{1-x}\text{P}$  ( $x = 0.47$ ,  $n, p < 10^{17} \text{ см}^{-3}$ ) толщиной  $0.5 \mu\text{m}$  выращивались на подложках (001) GaAs методом МОСГЭ при температурах:  $T_s = 600$ – $650^\circ\text{C}$  на установке с горизонтальным реактором и резистивным нагревателем, работающей при атмосферном давлении. Отношение потоков V/III равнялось 50. В качестве источников P, Ga и In использовались соответственно  $\text{PH}_3$ ,  $\text{Ga}(\text{CH}_3)_3$  и  $\text{In}(\text{CH}_3)_3$ . Контроль состава осуществлялся с помощью рентгеновского микроанализа и дифракции. Наличие упорядочения CuPt-типа подтверждалось регистрацией сверхструктурных дифракционных отражений (ССО)  $1/2, 1/2, 1/2, 3/2, 3/2, 3/2$  и  $5/2, 5/2, 5/2$ . Направления  $[110]$  и  $[\bar{1}10]$  в плоскости слоя выявлялись с помощью химического травления в 5% растворе  $\text{Br}_2$ : ДФМА через точечный прокол. В настоящей работе представлены результаты исследований двух образцов с различной степенью упорядочения: первый («упорядоченный») имеет существенно большую интенсивность ССО, чем второй («неупорядоченный»).

Спектры КР измерялись в геометрии обратного рассеяния (90,20) на двойном монохроматоре ДФС-52 при возбуждении линией Аг-лазера

514.5 нм и комнатной температуре. Детали методики измерения спектров приведены в [16]. Предварительные измерения спектров КР были проведены при возбуждении линией 488 нм. Отсутствие различий частот максимумов и относительных интенсивностей линий в спектрах, измеренных от этих двух возбуждающих линий, позволило заключить, что возбуждение осуществляется вдали от электронных резонансов  $In_{0.5}Ga_{0.5}P$ . Этот же вывод подтверждает весьма слабая интенсивность спектра второго порядка. Спектры КР были измерены в поляризациях:  $z(xy)\bar{z}$ ,  $z(xx)\bar{z}$ ,  $z(x'x')\bar{z}$ ,  $z(x'y')\bar{z}$ ,  $z(y'y')\bar{z}$  и  $z(y'x')\bar{z}$ , где  $x, y, z, x'$  и  $y'$  — направления [100], [010], [001], [110], [ $\bar{1}\bar{1}0$ ], соответственно.

### Оптические фононы и правила отбора для спектров КР {111}-GaP/InP монослойной сверхрешетки

Монослойная сверхрешетка на основе соединений  $A^3B^5$ , ориентированная вдоль одного из направлений {111} структуры цинковой обманки (структура типа CuPt) имеет пространственную группу  $C_{3v}^5$ . Примитивная ячейка MCP с ориентацией [ $\bar{1}\bar{1}1$ ] показана на рис. 1. Эта структура имеет четыре атома в примитивной ячейке и шесть фундаментальных оптических колебаний симметрий  $A_1$  и  $E$ , смещения атомов в которых также показаны на рис. 1. Для  $A_1$ -колебаний атомы смещаются вдоль оси сверхрешетки (СР)  $Z$ , в то время как для дважды вырожденных  $E$ -колебаний — вдоль  $X$  и  $Y$  осей. При этом ось  $Z$  — направление [ $\bar{1}\bar{1}1$ ], ось  $X$  — [112] и ось  $Y$  — [110]. Ось  $Z$  совпадает с осью третьего порядка точечной группы  $C_{3v}$ . Плоскости зеркального отражения точечной группы  $C_{3v}$  параллельны плоскостям (110), (101) и (011). Таким образом  $X$ - и  $Z$ -смещения MCP происходят в плоскостях зеркального отражения параллельных плоскостей (110), а  $Y$  — в направлениях перпендикулярных этой плоскости.

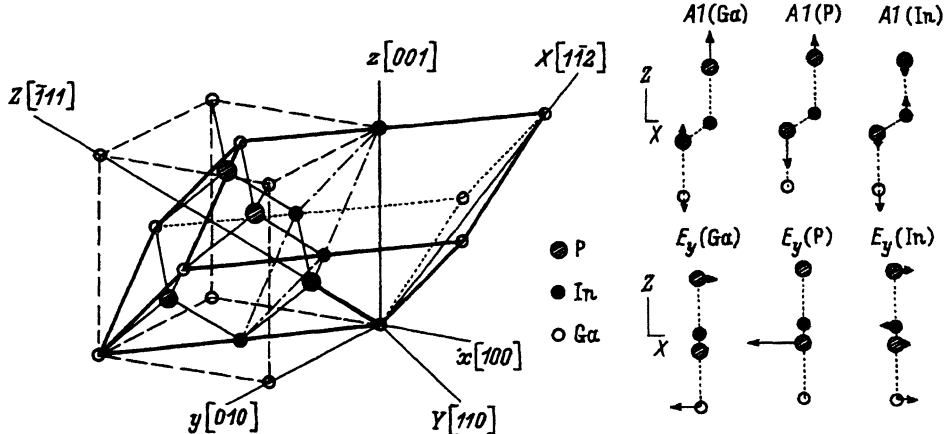


Рис. 1. Примитивная ячейка (слева) и смещения атомов  $A_1(Z)$  и  $E(X)$  фундаментальных колебаний (справа) [111]-GaP/InP MCP.

Кубическая ячейка — кристаллографическая ячейка структуры цинковой обманки,  $X$ ,  $Y$ ,  $Z$  — оси MCP и  $x$ ,  $y$ ,  $z$  — оси структуры цинковой обманки.

Таблица 1

Параметры оболочечной модели, используемые для расчетов дисперсии фононов {111}-GaP/InP монослойной сверхрешетки [17,18]\*

	GaP	InP
$a$ , нм	0.545	0.587
$\lambda$	47.5	48.3
$k_\theta$	-1.15	-1.35
$k'_\theta$	-0.31	-0.35
$k_{r,\theta}$	+4.61	4.54
$k'_{r,\theta}$	-7.06	-6.51
$Z_1$	2	1.89
$Y_1$	+6.03	+6.13
$Y_2$	-1.87	-1.64
$k_1$	371.2	457.2
$k_2$	82.0	81.9

\* Постоянная решетки ( $a$ ) и угловые члены ( $k_\theta$ ,  $k'_\theta$ ,  $k_{r,\theta}$ ,  $k'_{r,\theta}$ ) для Ga-P-In связей выбирались как средние величины соответствующих значений GaP и InP.

Мы провели расчеты динамики решетки для {111}-GaP/InP MCP в оболочечной модели (ОМ) с использованием параметров объемных GaP и InP [17-20] (табл.1). На рис. 1 показаны расчетные амплитуды смещений атомов для  $A_1(Z)$ - и  $E(Y)$ -колебаний. Можно видеть, что каждый из трех типов оптических фононных мод для каждого неприводимого представления точечной группы  $C_{3v}$  характеризуется смещением определенных подрешеток. Две моды являются модами GaP- и InP-типов; они характеризуются относительными смещениями подрешетки P и соответствующей подрешетки металла. Еще одна мода — P-типа, обусловлена колебанием только P-подрешетки. Моды GaP- и InP-типов удобно рассматривать как колебания соответствующих подрешеток Ga и In, и в дальнейшем мы будем их обозначать как моды In- и Ga-типов.

На рис. 2 представлены расчетные дисперсионные кривые. Кривые  $\Gamma-Z$ ,  $\Gamma-X$  и  $\Gamma-Y$  показывают пространственную дисперсию вдоль трех осей СР. Моды с волновыми векторами перпендикулярными оси СР, которым соответствуют кривые  $\Gamma-X$  и  $\Gamma-Y$ , обычно называются интерфейсными модами. Кривые  $\Gamma-\Gamma$  показывают дирекционную дисперсию для близких к нулю значений волнового вектора. Область  $Z-W-Y$  соответствует границе зоны Брюллиэна. Нами также была рассчитана дисперсия фононов {111}-GaP/InP MCP вдоль [001] направления структуры цинковой обманки, которой соответствуют кривые  $\Gamma-Z'$  на рис. 2.

В соответствие с нашими расчетами энергии оптических фононов {111}-GaP/InP MCP попадают в три частотных диапазона, разделенных двумя энергетическими щелями. Первый диапазон — от 70 до  $215 \text{ cm}^{-1}$  — соответствует модам In-типа, второй — от 300 до  $320 \text{ cm}^{-1}$  — X- и Y-модам P-типа и третий — от 330 до  $385 \text{ cm}^{-1}$  — Z-модам P-типа и модам Ga-типа.

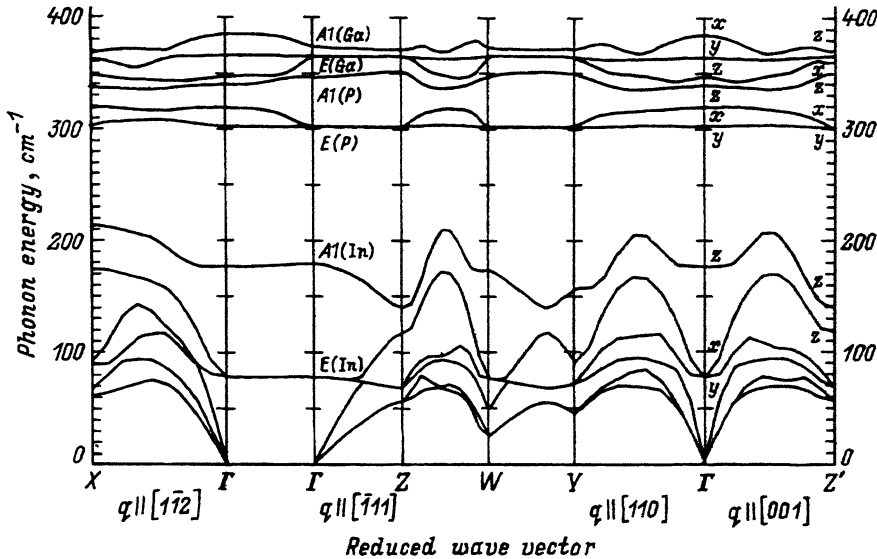


Рис. 2. Пространственная и дирекционная дисперсия фононов  $\{111\}$ -GaP/InP MCP, рассчитанная в оболочечной модели (табл. 1).

Для  $\Gamma$ - $Z'$  части дисперсионных кривых указаны векторы поляризаций фононов в центре и на границе зоны Бриллюэна.

Классификация колебаний  $\{111\}$ -GaP/InP MCP по неприводимым представлениям  $A_1$  и  $E$  точечной группы  $C_{3v}$  справедлива только для фононов с волновыми векторами параллельными осям СР. Для остальных направлений двукратное вырождение  $E$  колебаний снимается и затем восстанавливается только на границе в  $W$ - $Y$  и  $Z'$  точках. Для произвольной точки зоны Брюллиэна фононные моды можно классифицировать по компонентам атомных смещений и типу подрешетки. На рис. 2 указаны компоненты смещений атомов в центре и на границе зоны для фононов с волновыми векторами вдоль [001] (кривые  $\Gamma$ - $Z'$ ). В центре зоны три моды Ga-типа с частотами  $384$ ,  $364$  и  $351$   $\text{cm}^{-1}$  являются  $X^{\text{Ga}}$ ,  $Y^{\text{Ga}}$  и  $Z^{\text{Ga}}$ -фононами, соответственно, т.е. максимальную частоту имеют  $X^{\text{Ga}}$ -фононы. На границе зоны  $X^{\text{Ga}}$ -фононы становятся  $Z^{\text{Ga}}$ -фононами и наоборот. Таким образом в центре зоны  $X^{\text{Ga}}$  и  $Z^{\text{Ga}}$ -фононы смешиваются. Аналогичное смешивание имеет место и для фононов In- и P-типов.

Соответствующие тензоры КР для  $A_1(Z)$ ,  $E(X)$  и  $E(Y)$  неприводимых представлений точечной группы  $C_{3v}$  имеют следующий вид [21]:

$$\begin{pmatrix} a & 0 & 0 \\ 0 & a & 0 \\ 0 & 0 & b \end{pmatrix}, \quad \begin{pmatrix} c & 0 & d \\ 0 & -c & 0 \\ d & 0 & 0 \end{pmatrix} \text{ и } \begin{pmatrix} 0 & -c & 0 \\ -c & 0 & d \\ 0 & d & 0 \end{pmatrix}, \text{ соответственно. (1)}$$

Коэффициенты  $a$  и  $c$  связывают падающее излучение с модами распространяющимися параллельно оси  $Z$ ,  $a$ ,  $b$  и  $d$  с модами, распространяющимися перпендикулярно  $Z$ . Сравнивая (1) с тензорами  $\{111\}$ -СР,

Таблица 2

Правила отбора для поляризации спектров КР [111]-GaP/InP MCP для оптических фононов, возбуждаемых в геометрии обратного рассеяния вдоль направления [001] структуры цинковой обманки

Геометрия	Поляризация		Сечение КР		
	Возбуждения	Рассеяния	Z	X	Y
$z(xx)\bar{z}$	[100]	[100]	$\frac{1}{9}(2a+b)^2$	$\frac{4}{9} \left(d - \frac{1}{\sqrt{2}}c\right)^2$	$\frac{2}{3} \left(d - \frac{1}{\sqrt{2}}c\right)^2$
$z(xy)\bar{z}$	[100]	[010]	$\frac{1}{9}(a-b)^2$	$\frac{4}{9} \left(c + \frac{1}{\sqrt{2}}d\right)^2$	0
$z(yy)\bar{z}$	[010]	[010]	$\frac{1}{9}(2a+b)^2$	$\frac{4}{9} \left(d - \frac{1}{\sqrt{2}}c\right)^2$	$\frac{2}{3} \left(d - \frac{1}{\sqrt{2}}c\right)^2$
$z(x'x')\bar{z}$	[110]	[110]	$a^2$	$c^2$	0
$z(x'y')\bar{z}$	[110]	[ $\bar{1}$ 10]	$\frac{1}{9}(a+2b)^2$	$\frac{1}{9} \left(c + 2\sqrt{2}d\right)^2$	0
$z(y'y')\bar{z}$	[ $\bar{1}$ 10]	[ $\bar{1}$ 10]	0	0	$\frac{2}{3}d^2$

полученными из тензоров КР структуры цинковой обманки [12], можно видеть, что коэффициенты  $a$  и  $c$  равны  $\frac{1}{\sqrt{3}}d(\text{LO})$  и  $\sqrt{\frac{2}{3}}d(\text{TO})$ , где  $d(\text{LO})$  и  $d(\text{TO})$  соответствуют продольным (LO) и поперечным (TO) оптическим фононам объемных GaP и InP. Коэффициенты  $d(\text{LO})$  и  $d(\text{TO})$  содержат вклады деформационного потенциала. Коэффициент  $d(\text{LO})$  также включает в себя вклад электрооптического эффекта, который состоит из межзонного и внутризонного (Фрелиховского) членов. Последний необходимо учитывать при резонансном возбуждении.

Рассмотрим правила отбора для поляризаций спектров КР {111}-СР для фононов, распространяющихся вдоль направления [001] структуры цинковой обманки. Правила отбора для шести поляризаций, реализуемых в геометрии обратного рассеяния, получены для тензоров (1) и СР с ориентацией [111] (табл. 2). Можно видеть, что диагональные поляризации  $x'x'$  и  $y'y'$  не эквивалентны. В случае когда векторы поляризации падающего и рассеянного излучения перпендикулярны плоскости зеркального отражения СР, в спектрах КР разрешены  $Z$ - и  $X$ -моды, поляризованные в этой плоскости. Во втором случае векторы поляризации падающего и рассеянного излучения параллельны плоскости зеркального отражения и в спектрах КР разрешены  $Y$ -моды, поляризованные перпендикулярно этой плоскости. Из табл. 2 также видно, что в поляризации  $xx$  должны доминировать  $Z$ -моды, а в  $x'y'$  —  $X$ - и  $Z$ -моды.

Для дальнейшего рассмотрения мы будем предполагать, что приведенное рассмотрение симметрии и правил отбора для {111}-СР применимо к упорядоченным {111}-GaP/InP MCP доменам эпитаксиальных слоев  $In_{0.5}Ga_{0.5}P$  выращенных на [001] GaAs-подложках. Влияние конечных размеров, упорядоченных доменов на фоновый спектр может быть учтено, в первом приближении, в рамках модели «пространственной корреляции» [22] или как эффект свертывания зоны Бриллю-

эна  $\{111\}$ -GaP/InP MCP, имеющий место в супертонких слоях [23] и сверхрешетках [24, 25]. Эти эффекты индуцируют фононы с волновыми векторами  $m\pi/l$ , где  $l$  — средний размер домена,  $m$  — целое число, и приводят к сдвигам частот фононных мод и появлению дополнительных полос. При этом сдвиг частоты фононной моды при уменьшении размера домена определяется ее дисперсией. Таким образом, в спектрах КР спонтанно упорядоченного In<sub>0.5</sub>Ga<sub>0.5</sub>P мы можем ожидать появления по крайней мере девяти полос, индуцированных частичным упорядочением с образованием  $\{111\}$ -GaP/InP MCP. В соответствии с расчетами эти полосы можно наблюдать вблизи 72 ( $X^{\text{In}}$  и  $Y^{\text{In}}$ ), 180 ( $Z^{\text{In}}$ ), 307 ( $Y^{\text{P}}$ ), 321 ( $X^{\text{P}}$ ), 337 ( $Z^{\text{P}}$ ), 351 ( $Z^{\text{Ga}}$ ) 365 ( $Y^{\text{Ga}}$ ) и 384 ( $X^{\text{Ga}}$ )  $\text{cm}^{-1}$ . Для конечных волновых векторов  $Z$ - и  $X$ -моды смешиваются.

Для двух типов упорядоченных доменов со структурой CuPt, которые образуются в этих твердых растворах, ось СР совпадает с направлениями  $[111]$  и  $[1\bar{1}\bar{1}]$ . MCP с этими ориентациями осей имеют общие плоскости зеркального отражения параллельные сплюснутости  $(110)$ . Таким образом, колебательные моды обоих типов доменов должны удовлетворять правилам отбора для поляризаций спектров КР, рассмотренные выше. Следовательно спектры КР спонтанно упорядоченного In<sub>0.5</sub>Ga<sub>0.5</sub>P должны обнаруживать  $x'x'/y'y'$  поляризационную ассимметрию, обусловленную вкладами оптических фононов упорядоченных доменов. Для двух других ориентаций упорядоченных доменов —  $[111]$  и  $[1\bar{1}\bar{1}]$ , которые экспериментально не наблюдаются, плоскости зеркального отражения перпендикулярны плоскости  $(110)$  и, следовательно, оси  $x'$  и  $y'$  меняются местами.

Оптическая анизотропия, индуцированная упорядоченными  $\{111\}$ -GaP/InP MCP доменами с ориентацией  $[\bar{1}11]$  и  $[1\bar{1}\bar{1}]$ , должна сказываться и на рассеянии света от неупорядоченных областей твердого раствора, имеющих структуру цинковой обманки. Это может проявляться в нарушениях правил отбора для поляризаций соответствующих линий КР.

## Спектры КР и обсуждение результатов

На рис. 3, *a-f* представлены спектры КР двух исследованных образцов In<sub>0.5</sub>Ga<sub>0.5</sub>P, измеренные в геометрии обратного рассеяния в диапазоне 300–400  $\text{cm}^{-1}$ , в который попадают Р- и Ga-моды  $\{111\}$ -GaP/InP MCP. Спектры измерены в поляризациях  $xy$ ,  $xx$ ,  $x'x'$ ,  $x'y'$ ,  $x'y'$  и  $y'x'$ . Для обоих образцов наибольшую интенсивность имеют спектры в поляризациях  $xy$ ,  $x'x'$  и  $y'y'$ , которые являются разрешенными для LO-фононов в геометрии обратного рассеяния от плоскости  $(001)$  структуры цинковой обманки [21]. В поляризациях  $xx$ ,  $x'y'$  и  $y'x'$ , которые запрещены для структуры цинковой обманки, интенсивности спектров в несколько раз слабее. Во всех поляризациях спектры КР упорядоченного образца имеют большую интенсивность, что, по-видимому, обусловлено изменением оптических постоянных In<sub>0.5</sub>Ga<sub>0.5</sub>P вследствие упорядочения. Изменения оптических постоянных влияют на интенсивность КР двояким образом: изменяют, во-первых, рассеивающий объем, и, во-вторых, электрооптический вклад в амплитуду рассеяния.

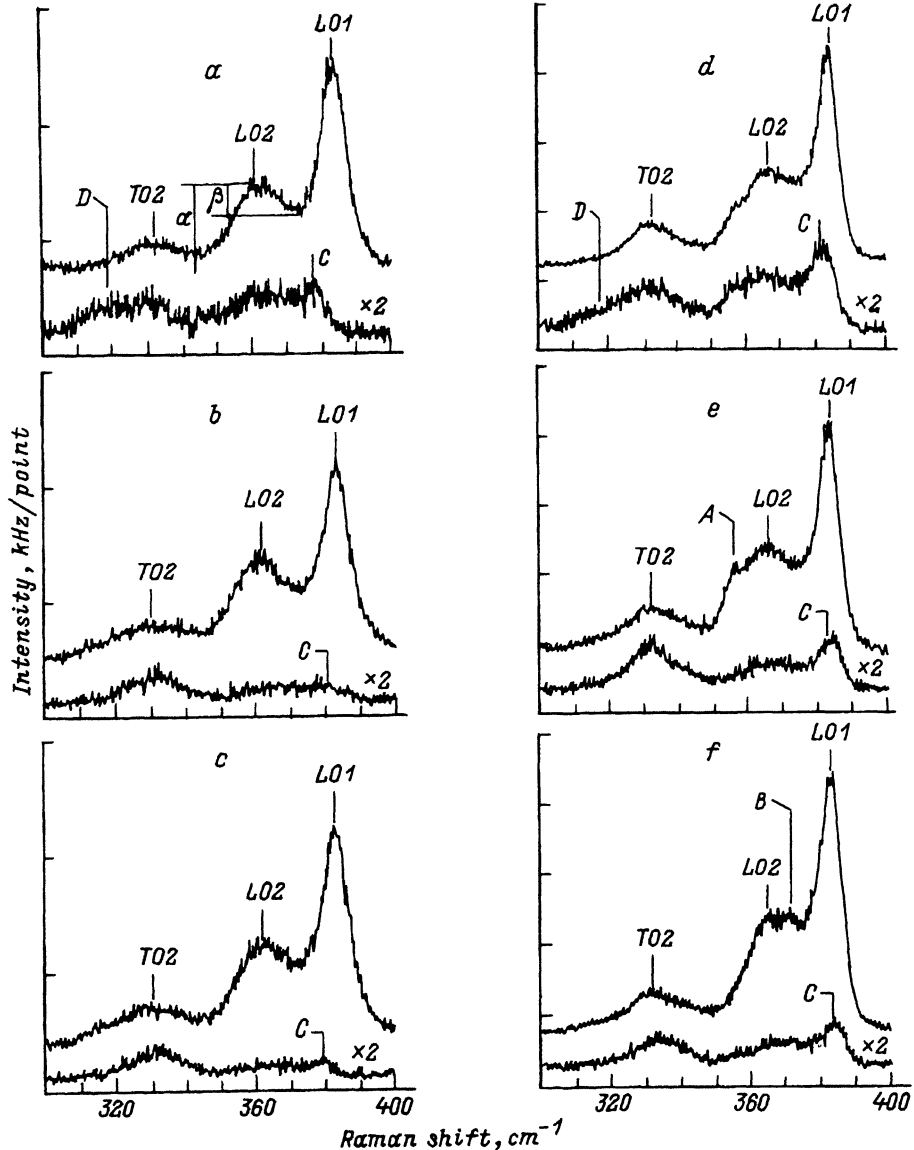


Рис. 3. Спектры КР спонтанно упорядоченного  $\text{In}_{0.5}\text{Ga}_{0.5}\text{P}$ , измеренные при 300 К в следующих поляризациях:

*a,d* —  $z(xy)\bar{z}$ ,  $z(xx)\bar{z}$ , *b,e* —  $z(y'y')\bar{z}$ ,  $z(y'x')\bar{z}$ , *c,f* —  $z(x'x')\bar{z}$ ,  $z(x'y')\bar{z}$ , где  $x \parallel [100]$ ,  $y \parallel [010]$ ,  $z \parallel [001]$ ,  $x' \parallel [110]$ ,  $y' \parallel [\bar{1}10]$ . Спектры *a-c* соответствуют неупорядоченному образцу, *d-f* — упорядоченному. Линия возбуждения 514.5 нм.

В разрешенных поляризациях в спектрах КР доминируют три полосы — с частотами максимумов  $384$ ,  $365$  и  $330\text{ cm}^{-1}$ . Эти полосы соответствуют  $\text{LO}_1$ - $\text{LO}_2$ - и  $\text{TO}_2$ -фононам, где индексы 1 и 2 относятся к фононам GaP- и InP-типа неупорядоченных областей твердого раствора [1,2,26–28]. На рис. 3,*a* для поляризации  $xy$  мы обозначили два параметра спектра КР  $\text{In}_{0.5}\text{Ga}_{0.5}\text{P}$   $\alpha$  и  $\beta$ . Отношение  $\beta/\alpha$  («глубина

провала»), как показано в [1,2] и хорошо видно из сопоставления спектров на рис. 3,*a* и *d*, уменьшается с увеличением степени упорядочения. Следует однако отметить, что для одного и того же образца величина «провала» зависит от поляризации (рис. 3,*a-c* и *d-f*).

Наличие упорядоченных доменов приводит к появлению тонкой структуры полосы LO<sub>2</sub>-фона, которая отчетливо разрешается в поляризациях *x'x'* и *y'y'* упорядоченного образца. Здесь в поляризации *y'y'* на низкочастотном крыле LO<sub>2</sub>-полосы проявляется слабый пичок *A* с частотой 356 см<sup>-1</sup>. В поляризации *x'x'* пик *A* полностью исчезает. Однако максимум LO<sub>2</sub>-полосы приобретает двугорбую форму за счет проявления дополнительного пика *B* на частоте 372 см<sup>-1</sup>. Эти различия в тонкой структуре LO<sub>2</sub>-полосы хорошо согласуются с ассиметрией правил отбора {111}-GaP/InP MCP для поляризаций *x'x'* и *y'y'*, и мы можем отнести пики *A* и *B* к Y<sup>Ga</sup>- и X<sup>Ga</sup>-фононам упорядоченных доменов. Для неупорядоченного образца тонкая структура LO<sub>2</sub>-полосы практически не проявляется. Однако, на низкочастотном крыле этой полосы проявляется слабое плечо в поляризации *y'y'* (рис. 3,*b*), которое соответствует Y<sup>Ga</sup>-фононам. Кроме того, для поляризации *x'x'* имеет место небольшое уменьшение «глубины провала» (рис. 3,*c*), обусловленное X<sup>Ga</sup>-фононами.

Третью моду Ga-типа, Z<sup>Ga</sup>, можно наблюдать в поляризации *xx*, в которой она разрешена (полоса *C* на рис. 3,*a* и *d*). Эта полоса также разрешена в поляризации *x'x'*, но здесь она лежит рядом с интенсивной полосой LO<sub>1</sub>-фона скрыта в его низкочастотном крыле. Некоторое смещение частоты *C*-полосы к частоте LO<sub>1</sub>-фона, которое имеет место для упорядоченного образца, обусловлено, на наш взгляд, суперпозицией линий Z<sup>Ga</sup>- и LO<sub>1</sub>-фононов.

Что касается мод P-типа, которые попадают в область полосы TO<sub>2</sub>-фононов, то их наличие в поляризациях *x'x'* и *y'y'* трудно установить вследствие низкой интенсивности и отсутствия тонкой структуры полосы TO<sub>2</sub>-фононов. К Z<sup>P</sup>-моде можно отнести слабую D-полосу с частотой 320 см<sup>-1</sup>, отчетливо наблюдаемую в поляризации *xx* неупорядоченного образца (рис. 3,*a*). Следствием вклада этой моды, по-видимому, является большая полуширина TO<sub>2</sub>-полосы в поляризациях *x'x'* и *y'y'* по сравнению с *x'y'* и *y'x'* (рис. 3,*b-c* и *e-f*).

Для выделения вкладов различных полос и определения их относительных интенсивностей было проведено разложение *x'x'*- и *y'y'*-спектров на лоренцевые контуры. Частоты, полуширины и относительные интенсивности полос, определенные из такого разложения, приведены в табл. 3. На рис. 4 представлены результаты разложения для *x'x'* упорядоченного образца, а на рис. 5 для каждого образца приведены суммарные контуры LO<sub>1</sub>-, LO<sub>2</sub>- и TO<sub>2</sub>-полос. Результаты разложения подтвердили наличие Y<sup>Ga</sup>- и X<sup>Ga</sup>-мод в спектрах КР разупорядоченного образца (табл. 3) и Z<sup>Ga</sup>-моды в поляризации *x'x'* (рис. 4).

Используя значения относительных интенсивностей полос, можно оценить отношение концентраций упорядоченных и неупорядоченных областей в In<sub>0.5</sub>Ga<sub>0.5</sub>P. Предположим, что только колебания связей Ga-P обуславливают появление линий LO<sub>1</sub>-, Z<sup>Ga</sup>-, X<sup>Ga</sup>- и Y<sup>Ga</sup>-фононов в спектре КР. В этом предположении искомое отношение равно отношению суммарной интенсивности линий мод Ga-типа, измеренных в

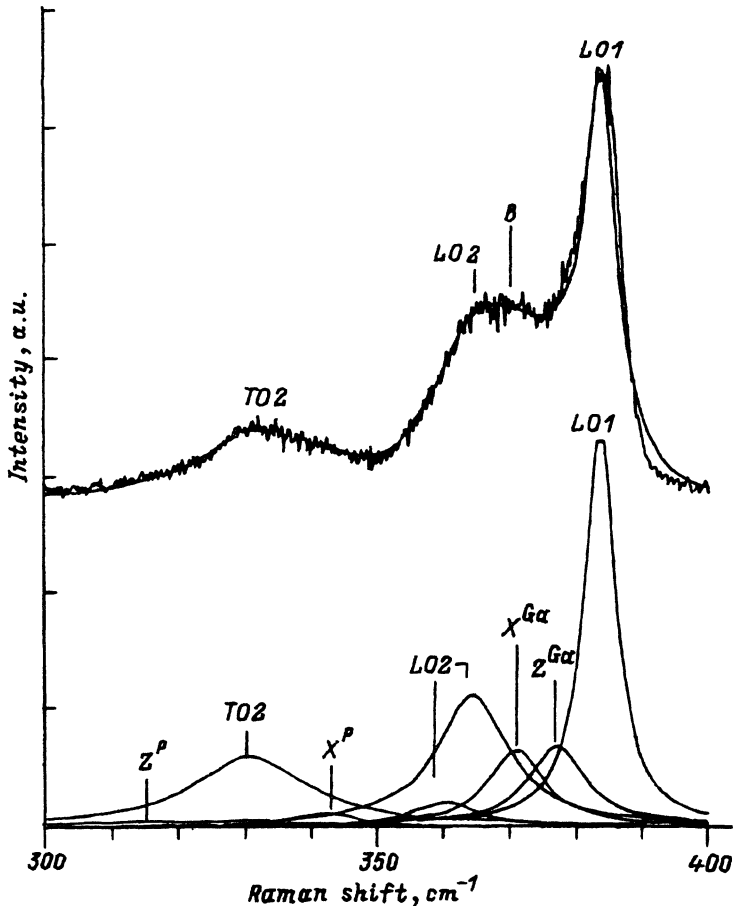


Рис. 4. Моделирование экспериментального спектра КР  $\text{In}_{0.5}\text{Ga}_{0.5}\text{P}$  (упорядоченный образец, поляризация  $x'x'$ ) набором лоренцевых контуров (верхние кривые) и соответствующие лоренцевы составляющие (нижние кривые).

разрешенных поляризациях, к интенсивности линии LO<sub>1</sub>-фонона. Учитывая соотношения между компонентами тензоров  $a, c, d(\text{LO})$  и  $d(\text{TO})$ , приведенные выше и предполагая, что  $d = c$ , получаем, что отмеченное отношение равно 1 для упорядоченного образца и 0.5 для «неупорядоченного». Это отвечает концентрациям упорядоченных доменов 0.5 и 0.3 соответственно. Величина 0.5 близка к значениям, определенным из данных электронной микроскопии для образцов с высокой степенью упорядочения [7].

Данные табл. 3 и рис. 5, а, б показывают, что ассиметрия интенсивностей поляризаций  $x'x'$  и  $y'y'$  имеет место и для линий LO<sub>1</sub>- и TO<sub>2</sub>-фононов. В первом случае она отражает влияние оптической анизотропии на разупорядочение области твердого раствора, а во втором — вклад мод Р-типа. Обращает на себя внимание увеличение ассиметрии для TO<sub>2</sub> полосы неупорядоченного образца при одновременном ее уменьшении для мод Ga-типа, что может отражать перераспределение электронной плотности между упорядоченными и разупорядоченными областями твердого раствора, и является следствием

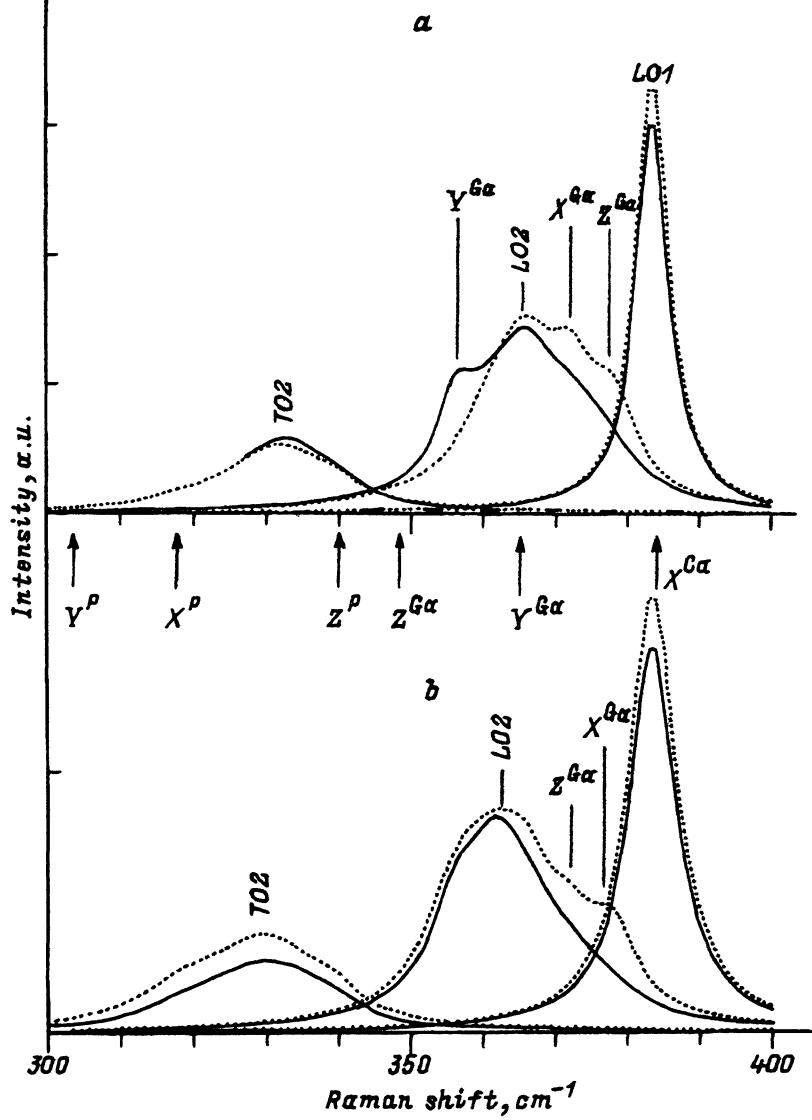


Рис. 5. Сравнение результатов разложения на лоренцевые контуры  $\text{TO}_2$ - и  $\text{LO}_1$ -полос упорядоченного (а) и разупорядоченного (б)  $\text{In}_{0.5}\text{Ga}_{0.5}\text{P}$ . Стрелки указывают частоты  $\Gamma-\text{Z}'$  оптических фононов, рассчитанные в оболочечной модели (табл. 1).

изменений в микроструктуре твердого раствора, обусловленных изменением условий роста. Наличие таких изменений подтверждается измерениями спектров КР  $\text{In}_{0.5}\text{Ga}_{0.5}\text{P}$  в области частот мод In-типа.

На рис. 6 приведено сравнение спектров упорядоченного и неупорядоченного образцов, измеренных в области  $150-300 \text{ cm}^{-1}$  в поляризациях  $x'x'$  и  $y'y'$ . В упорядоченном образце в этом диапазоне частот наблюдается единственный пик с частотой  $205 \text{ cm}^{-1}$ , который обусловлен  $Z^{\text{In}}$ -модой. В неупорядоченном образце этот пик уширяется и

Таблица 3

Относительные интенсивности линий оптических фононов в спектрах КР спонтанно упорядоченного  $\text{Ga}_{0.5}\text{In}_{0.5}\text{P}$ , полученные из разложения на лоренцевые контуры\*

Частота фонона, $\text{cm}^{-1}$	Упорядоченный образец		Неупорядоченный образец		Интерпретация
	$(x'x')$	$(y'y')$	$(x'x')$	$(y'y')$	
384	1(5.8)**	0.9(5.8)	1.(8)	0.86(8)	$\text{LO}_1$
377	0.35(10)	0.24(10)	0.13(10)	0.07(10)	$Z^{\text{Ga}}$
371	0.33(10)	0.16(10)	0.22(12)	0.16(12)	$X^{\text{Ga}}$
365/363***	0.74(13)	0.57(12)	0.6(15)	0.69(15)	
360	0.1(10)	0.27(10)	0.07(5)	0	$\text{LO}_2$
356	0	0.11(4)	0.013(8)	0.09(8)	$Y^{\text{Ga}}$
343/339	0.05(10)	0	0.013(10)	0.011(10)	$X^{\text{P}}$
331	0.59(20)	0.6(20)	0.64(30)	0.48(30)	$\text{TO}_2, Z^{\text{P}}$
315	0.02(10)	0	0	0	$Z^{\text{P}}$

\* Интенсивности нормированы на интенсивность  $\text{LO}_1$ -фонона в поляризации  $(x'x')$ .

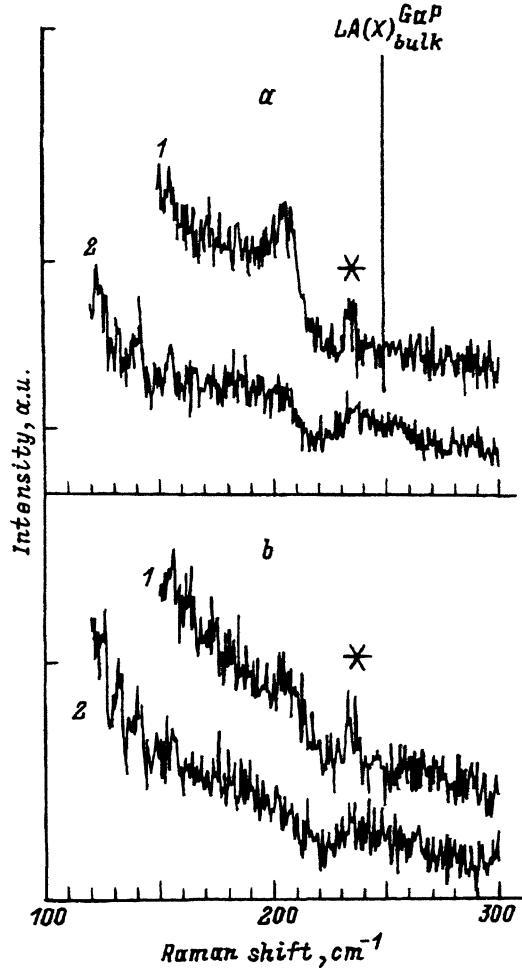
\*\* В скобках указаны полуширины соответствующих лоренцевых контуров.

\*\*\* Второе значение относится к неупорядоченному образцу.

наблюдается дополнительный более широкий пик на частоте  $240 \text{ cm}^{-1}$ . Частота этого пика совпадает с частотой  $\text{LA}(X)$  фононов объемного GaP [20] и, таким образом, его можно отнести к упорядоченной фазе со структурой, отличной от структуры CuPt. Возможно также, что пик  $240 \text{ cm}^{-1}$  обусловлен разупорядочением твердого раствора или спектром второго порядка.

Сравнивая расчетные и экспериментальные частоты фононов {111}-GaP/InP MCP (табл. 3 и рис. 5, a, b), можно видеть, что используемая оболочечная модель плохо описывает частоты мод. Эти расхождения не являются неожиданными. Во-первых, в расчете не учитывались эффекты релаксации кристаллической решетки MCP, обусловленные различием длин связей Ga-P и In-P. Во-вторых, использование значений зарядов, полученных для объемных GaP и InP, не учитывает перераспределения электронной плотности между Ga-P и In-P связями при образовании упорядоченного MCP домена. Наличие перераспределения электронной плотности между анионными подрешетками в упорядоченной фазе отмечалось, в частности, в твердых растворах  $\text{In}_{0.2}\text{Ga}_{0.8}\text{As}$  [15]. В этой системе из анализа интенсивностей линий в спектрах КР был сделан вывод о переносе заряда от In-As к Ga-As связям, что является необходимым для термодинамической стабильности упорядоченных доменов. По-видимому, аналогичный перенос заряда имеет место и для спонтанно упорядоченного  $\text{In}_{0.5}\text{Ga}_{0.5}\text{P}$ , однако этот вопрос требует специального рассмотрения. Соображения симметрии и правила отбора, используемые при анализе спектров КР, не зависят от конкретной модели динамики решетки и, как и полученные нами экспериментальные частоты, могут быть использованы для нахождения более подходящей модели, учитывающей отмеченные эффекты.

Таким образом, нами были исследованы спектры КР спонтанно упорядоченного  $\text{In}_{0.5}\text{Ga}_{0.5}\text{P}$ , выращенного методом МОСГЭ на подлож-



**Рис. 6.** Спектры КР упорядоченного (1) и неупорядоченного (2)  $\text{In}_{0.5}\text{Ga}_{0.5}\text{P}$ , измеренные в частотном диапазоне  $150\text{--}300\text{ cm}^{-1}$  в геометрии обратного рассеяния в поляризациях  $z(x'x')\bar{z}$  (а) и  $z(y'y')\bar{z}$  (б) ( $x' \parallel [110]$ ,  $y' \parallel [\bar{1}10]$ ) при возбуждении линией  $514.5\text{ nm}$  и  $T = 300\text{ K}$ .  
Символ звездочки обозначает плазменную линию лазера.

ках GaAs с ориентацией [001]. Проанализированы правила отбора для оптических фонов  $\{111\}\text{-GaP}/\text{InP}$  MCP, распространяющихся вдоль направления [001], и представлены результаты расчетов пространственной и дирекционной дисперсии фонов в оболочечной модели. В спектрах КР обнаружены полосы, обусловленные фонами  $\{111\}\text{-GaP}/\text{InP}$  доменов. Установлена зависимость спектров КР спонтанно упорядоченного  $\text{In}_{0.5}\text{Ga}_{0.5}\text{P}$  от микроструктуры эпитаксиального слоя.

Авторы выражают признательность М.Б.Смирнову за предоставление программ расчета динамики кристаллической решетки и помощь в проведении расчетов.

### Список литературы

- [1] Suzuki T., Gomyo A., Iijima S., Kobayashi K., Kawata S., Hino I., Yasa T. Jpn. J. Appl. Phys. **27**, 11, 2098 (1988).
- [2] Kondow M., Minagawa S. J. Appl. Phys. **64**, 2, 2053 (1988).
- [3] Mascarenhas A., Kurtz S., Kibbler A., Olson J.M. Phys. Rev. Lett. **63**, 19, 2108 (1989).
- [4] Kurtz S. J. Appl. Phys. **74**, 6, 4130 (1993).
- [5] Хачатуриян А.Г. Теория фазовых переходов и структура твердых растворов. М. (1974).
- [6] Nozaki C., Ohba Y., Sugawara H., Yasuami S., Nakanishi T. J. Cryst. Growth **93**, 406 (1988).
- [7] Ueda O., Takikawa M., Takechi M., Komeno J., Umebu I. J. Cryst. Growth **93**, 418 (1988).
- [8] Horner G.S., Mascarenhas A., Alonso R.G., Froyen S., Bertness K.A., Olson J.M. Phys. Rev. **B49**, 3, 1727 (1993).
- [9] Wei S.-H., Zunger A. Appl. Phys. Lett. **56**, 7, 662 (1990).
- [10] Laks D.B., Wei S.H., Zunger A. Phys. Rev. Lett. **69**, 24, 3766 (1992).
- [11] Popovic Z.V., Cardona M., Richter E., Strauch D., Tapfer L., Ploog K. Phys. Rev. **B41**, 9, 5904 (1990).
- [12] Popovic Z.V., Richter E., Spitzer J., Cardona M., Sields A.J., Notzel R., Ploog K. Phys. Rev. **B49**, 11, 7577 (1994).
- [13] Popovic Z.V., Cardona M., Richter E., Strauch D., Tapfer L., Ploog K. Phys. Rev. **B40**, 5, 3040 (1989).
- [14] Mintairov A.M., Mazurenko D.M. Int. J. Electron. **77**, 3, 309 (1994).
- [15] Минтаиров А.М., Мазуренко Д.М., Синицин М.А., Явич Б.С. ФТП **28**, 9, 1550 (1994).
- [16] Минтаиров А.М., Смекалин К.Е., Устинов В.М., Хвостиков В.П. ФТП **26**, 4, 614 (1992).
- [17] Kunc K., Bilz H. Solid State Commun. **9**, 11, 1027 (1976).
- [18] Borcherds P.H., Kunc K. J. Phys. **C11**, 4145 (1978).
- [19] Borcherds P.H., Kunc K., Alfreys G.F., Hall R.H. J. Phys. **C12**, 4699 (1979).
- [20] Borcherds P.H., Alfrey G.F., Saunderson D.H., Woods A.D.B. J. Phys. **C8**, 2022 (1975).
- [21] Cardona M. In: Light scattering in Solids III / Ed. M.Cardona and G.Gunterodt. Springer Verlag, Berlin (1982). P. 19.
- [22] Parayenthal P., Pollak F.H. Phys. Rev. Lett. **52**, 20, 1822 (1984).
- [23] Kanellis G., Morhange J.F., Balkanski M. Phys. Rev. **B28**, 6, 3406 (1983).
- [24] Jusserand B., Paquet D., Regreny A. Phys. Rev. **B30**, 10, 6245 (1984).
- [25] Sood A.K., Mendez J., Cardona M., Ploog K. Phys. Rev. Lett. **54**, 19, 2111 (1985).
- [26] Lucovsky G., Brodsky M.H., Chen M.F., Chicotka R.J., Ward A.T. Phys. Rev. **B4**, 6, 1945 (1971).
- [27] Beserman R., Hirilmann C., Balkanski M., Chevallier J. Solid State Commun. **20**, 4, 485 (1976).
- [28] Jusserand B., Slempkes S. Solid State Commun. **49**, 1, 95 (1984).